

Elektrische Eigenschaften		Electrical properties	
Höchstzulässige Werte		Maximum rated values	
Periodische Vorwärts- und Rückwärts-Spitzensperrspannung	repetitive peak forward off-state and reverse voltages	$t_{vj} = -40^{\circ}\text{C} \dots t_{vj\max}$	$V_{DRM}, V_{RRM}$ 800, 1000 V 1100, 1200 v $V_{DSM} = V_{DRM}$
Vorwärts-Stoßspitzen-sperrspannung	non repetitive peak forward off-state voltage	$t_{vj} = -40^{\circ}\text{C} \dots t_{vj\max}$	$V_{RSM} = V_{RRM}$ + 100 v
Rückwärts-Stoßspitzen-sperrspannung	non repetitive peak reverse voltage	$t_{vj} = + 25^{\circ}\text{C} \dots t_{vj\max}$	$I_{TRMSM}$ 2200 A $I_{TAVM}$ 1050 A 1400 A
Durchlaßstrom-Grenzeffektivwert	RMS on-state current	$t_C = 85^{\circ}\text{C}$	$I_{TSM}$ 22,5 kA
Dauergrenzstrom	average on-state current	$t_C = 66^{\circ}\text{C}$	20 kA
Stoßstrom-Grenzwert	surge current	$t_s = 25^{\circ}\text{C}, t_p = 10 \text{ ms}$ $t_{vj} = t_{vj\max}, t_p = 10 \text{ ms}$	$I^2t$ 2530 kA <sup>2</sup> s 2000 kA <sup>2</sup> s
Grenzlastintegral	Pt-value	$t_{vj} = 25^{\circ}\text{C}, t_p = 10 \text{ ms}$ $t_{vj} = t_{vj\max}, t_p = 10 \text{ ms}$	(di/dt) <sub>cr</sub> 400 A/ $\mu$ s
Kritische Stromsteilheit	critical rate of rise of on-state current	$V_D \leq 67\% V_{DRM}, f = 50 \text{ Hz}$	(dv/dt) <sub>cr</sub> 1) 50 V/ $\mu$ s 2) 500 V/ $\mu$ s
Kritische Spannungssteilheit	critical rate of rise of off-state voltage	$i_{GM} = 1,2 \text{ A}, di_G/dt = 1,2 \text{ A/\mus}$ $t_{vj} = t_{vj\max}, V_D = 67\% V_{DRM}$	L: 500 V/ $\mu$ s M*: 1000 500 V/ $\mu$ s

Charakteristische Werte		Characteristic values	
Durchlaßspannung	on-state voltage	$t_{vj} = t_{vj\max}, i_T = 4000 \text{ A}$	$V_T$ max. 2,7 V
Schleusenspannung	threshold voltage	$t_{vj} = t_{vj\max}$	$V_{T(TO)}$ 1,45 v
Ersatzwiderstand	slope resistance	$t_{vj} = t_{vj\max}$	$r_T$ 0,3 m $\Omega$
Zündstrom	gate trigger current	$t_{vj} = 25^{\circ}\text{C}, V_D = 12 \text{ V}$	$I_{GT}$ max. 300 mA
Zündspannung	gate trigger voltage	$t_{vj} = 25^{\circ}\text{C}, V_D = 12 \text{ V}$	$V_{GT}$ max. 2,2 v
Nicht zündender Steuerstrom	gate non-trigger current	$t_{vj} = t_{vj\max}, V_D = 12 \text{ v}$	$I_{GD}$ max. 20 mA
Nicht zündende Steuerspannung	gate non-trigger voltage	$t_{vj} = t_{vj\max}, V_D = 0,5 V_{DRM}$	$V_{GD}$ max. 0,25 V
Haltstrom	holding current	$t_s = 25^{\circ}\text{C}, V_D = 12 \text{ V}, R_A = 10 \Omega$	$I_H$ max. 250 mA
Einraststrom	latching current	$t_s = 25^{\circ}\text{C}, V_D = 12 \text{ V}, R_{GK} \geq 10 \Omega$	$I_L$ max. 1 A
Vorwärts- u. Rückwärts-Sperrstrom	forward off-state and reverse Currents	$i_{GM} = 1,2 \text{ A}, di_G/dt = 1,2 \text{ A/\mus}, t_g = 20 \text{ ps}$	$i_D, i_R$ max. 200 mA
Zündverzug	gate controlled delay time	$t_{vj} = t_{vj\max}, V_D = V_{DRM}, V_R = V_{RRM}$	$t_{gd}$ max. 1,4 $\mu$ s
Freiwerdezeit	circuit commutated turn-off time	$t_{vj} = 25^{\circ}\text{C}, i_{GM} = 1,2 \text{ A}, di_G/dt = 1,2 \text{ A/\mus}$ siehe Techn. Erl./see Techn. Inf.	$t_q C^{*3)}$ : max. 12 $\mu$ s D: max. 15 $\mu$ s E: max. 20 $\mu$ s F: max. 25 $\mu$ s

Thermische Eigenschaften		Thermal properties	
Innerer Wärmewiderstand für beidseitige Kühlung	thermal resistance, junction to case for two-sided cooling	$\Theta = 180^{\circ} \text{ el, sin}$ DC	$R_{thJC}$ max. 0,018 $^{\circ}\text{C/W}$ max. 0,017 $^{\circ}\text{C/W}$
für anodenseitige Kühlung	for anode-sided cooling	$\Theta = 180^{\circ} \text{ el, sin}$ DC	$R_{thJC(A)}$ max. 0,031 $^{\circ}\text{C/W}$ max. 0,030 $^{\circ}\text{C/W}$
für kathodenseitige Kühlung	for cathode-sided cooling	$\Theta = 180^{\circ} \text{ el, sin}$ DC	$R_{thJC(K)}$ max. 0,041 $^{\circ}\text{C/W}$ max. 0,040 $^{\circ}\text{C/W}$
Übergangswärmewiderstand	thermal resistance, case to heatsink	beidseitig/two-sided einseitig/one-sided	$R_{thCK}$ max. 0,004 $^{\circ}\text{C/W}$ max. 0,008 $^{\circ}\text{C/W}$
Höchstzul. Sperrsichttemperatur	max. junction temperature		$t_{vj\max}$ 125 $^{\circ}\text{C}$
Betriebstemperatur	Operating temperature		$t_{cop}$ -40 ... + 125 $^{\circ}\text{C}$
Lagertemperatur	storage temperature		$t_{sig}$ -40 ... + 150 $^{\circ}\text{C}$

Mechanische Eigenschaften		Mechanical properties	
Si-Element mit Druckkontakt	Si-pellet with pressure contact		
Anpreßkraft	Clamping force		F typ. 16 ... 32 kN
Gewicht	weight		G 600 g
Kriechstrecke	Creepage distance		30 mm
Feuchtekategorie	humidity classification	DIN 40040	C
Schwingfestigkeit	Vibration resistance	f = 50 Hz	50 m/s <sup>2</sup>
Maßbild	outline	DIN 41814-15584	Seite/page 155

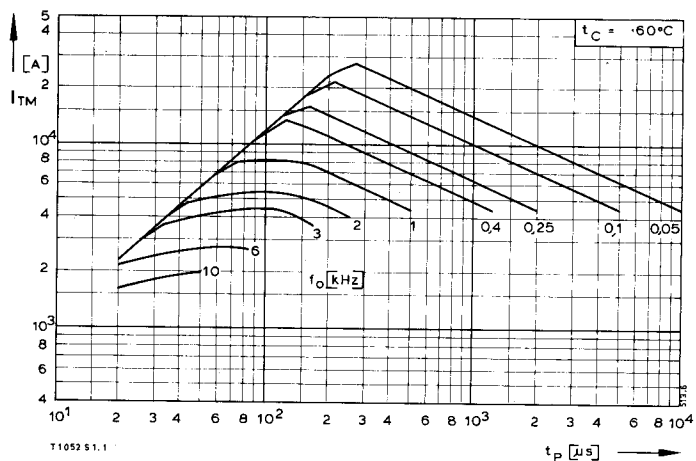
\* Für größere Stückzahlen bitte Liefertermin erfragen/Delivery for larger quantities on request

1) Werte nach DIN IEC 747-6 (ohne vorausgehende Kommutierung)/Values to DIN IEC 747-6 (without prior commutation)

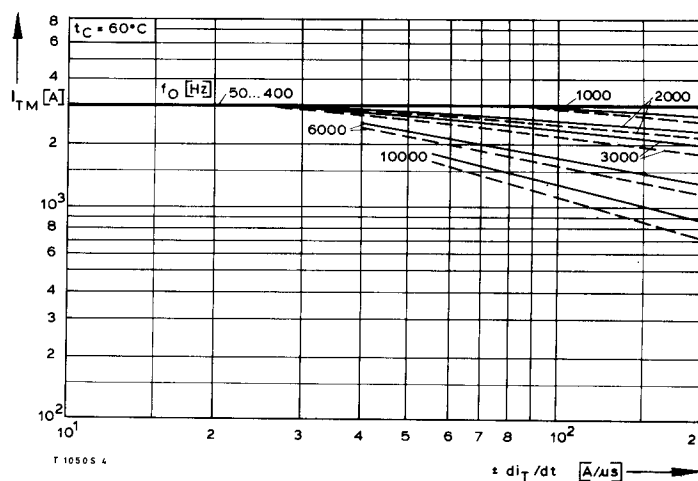
2) Unmittelbar nach der Freiwerdezeit, vgl. Meßbedingungen für  $t_q$ /Immediately after circuit commutated turn-off time, see Parameters  $t_q$

3) nur in Verbindung mit  $(dv/dt)_{cr} = B$  oder  $L$ /only in connection with  $(dv/dt)_{cr} = B$  or  $L$

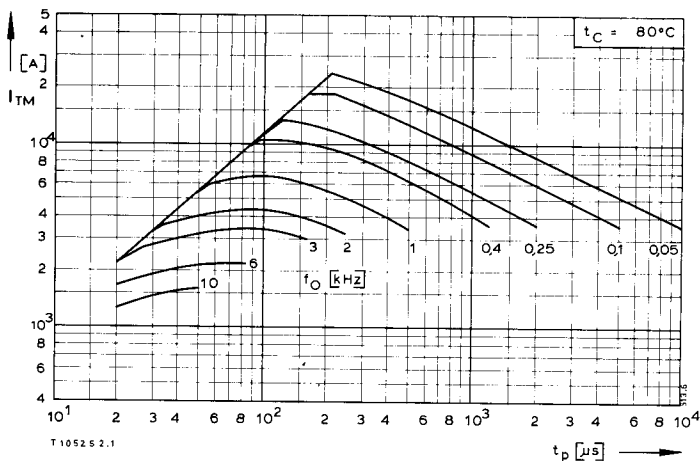
# T 1052 S



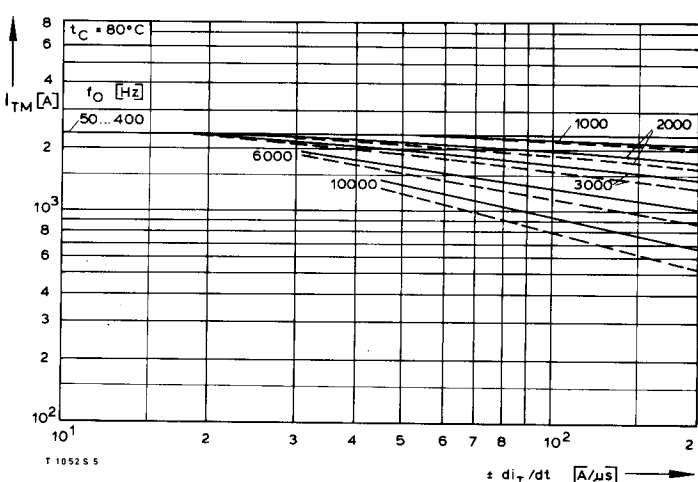
Bild/Fig. 1



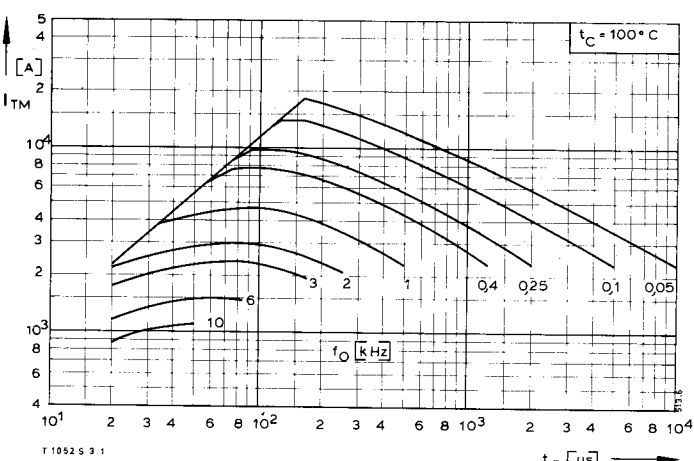
Bild/Fig. 4



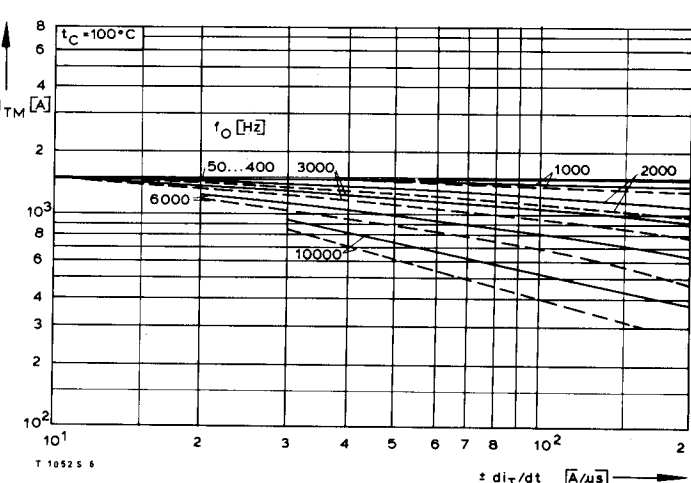
Bild/Fig. 2



Bild/Fig. 5



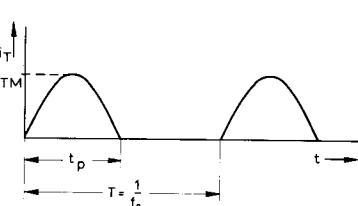
Bild/Fig. 3



Bild/Fig. 6

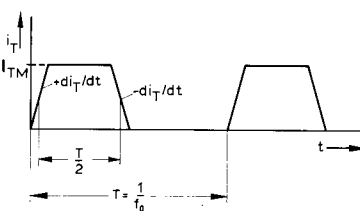
Bild/Fig. 1, 2, 3  
Steuergenerator/pulse generator:  
 $i_G = 1,2 \text{ A}$ ,  $\frac{di_G}{dt} = 1,2 \text{ A}/\mu\text{s}$

RC-Glied/RC-network:  
 $R [\Omega] \geq 0,02 V_{DM} [\text{V}]$   
 $C \leq 0,33 \mu\text{F}$   
 $V_{DM} \leq 0,67 V_{DRM}$

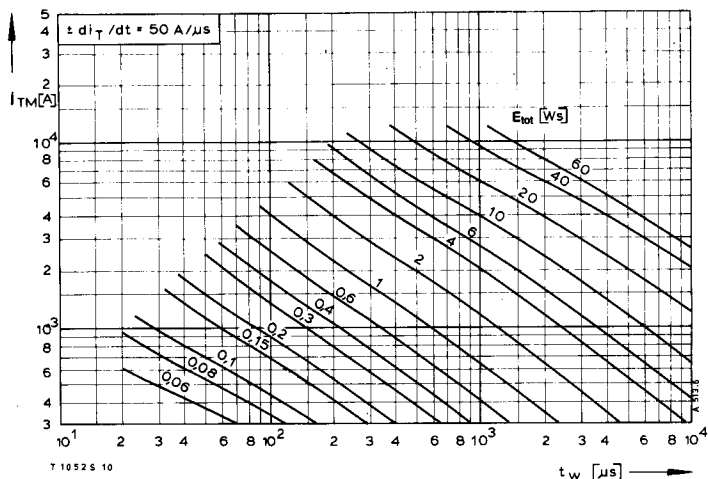


Bild/Fig. 4, 5, 6  
Steuergenerator/pulse generator:  
 $i_G = 1,2 \text{ A}$ ,  $\frac{di_G}{dt} = 1,2 \text{ A}/\mu\text{s}$

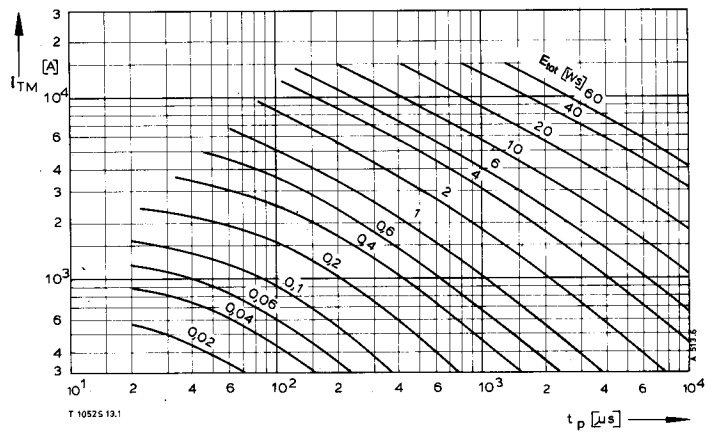
RC-Glied/RC-network:  
 $R [\Omega] \geq 0,02 V_{DM} [\text{V}]$   
 $C \leq 0,47 \mu\text{F}$   
 $V_{DM} \leq 0,67 V_{DRM}$   
 $\frac{dv_R}{dt} \leq 600 \text{ V}/\mu\text{s}$   
 $V_{RM} \leq 0,67 V_{RRM}$



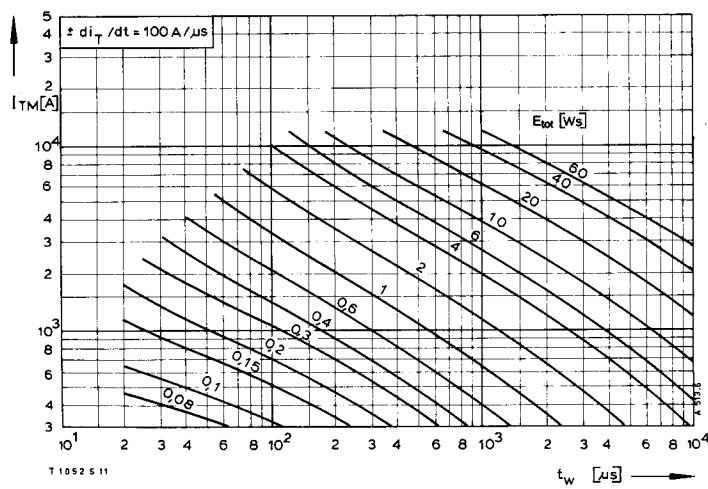
# T 1052 S



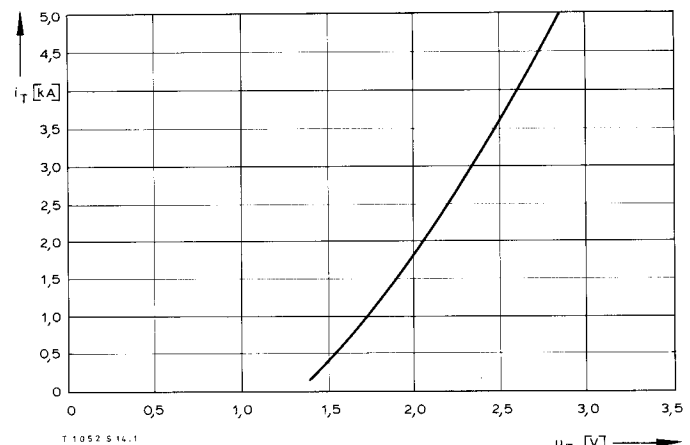
Bild/Fig. 10



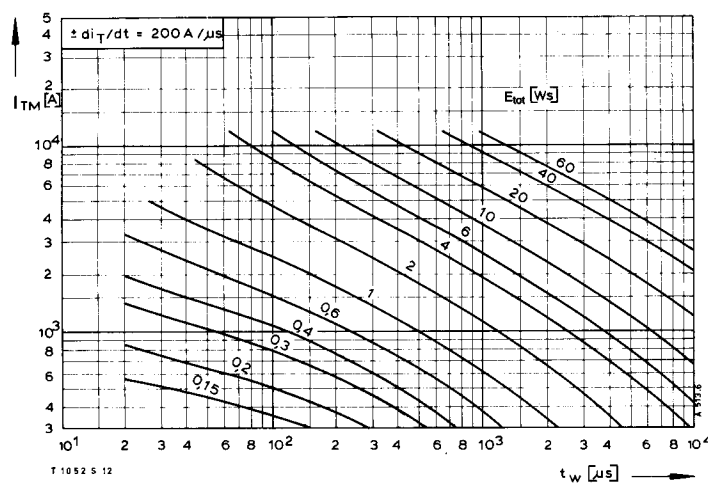
Bild/Fig. 13



Bild/Fig. 11



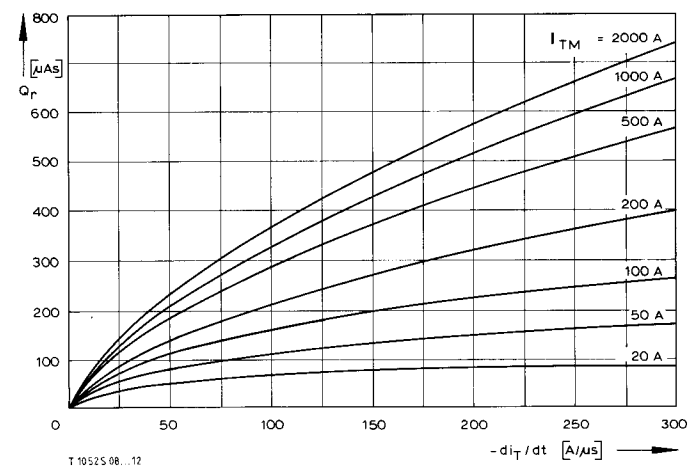
Bild/Fig. 14



Bild/Fig. 12

Bild/Fig. 10, 11, 12  
Steuergenerator/pulse generator:  
 $I_G = 1,2 \text{ A}$ ,  $di_G/dt = 1,2 \text{ A}/\mu\text{s}$

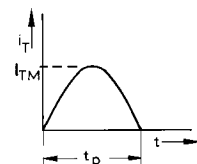
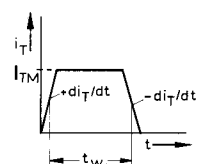
RC-Glied/RC-network:  
 $R [\Omega] \geq 0,02 V_{DM} [\text{V}]$   
 $C \leq 0,47 \mu\text{F}$   
 $V_{DM} \leq 0,67 V_{DRM}$   
 $dv_F/dt \leq 600 \text{ V}/\mu\text{s}$   
 $V_{RH} \leq 0,67 V_{RRM}$

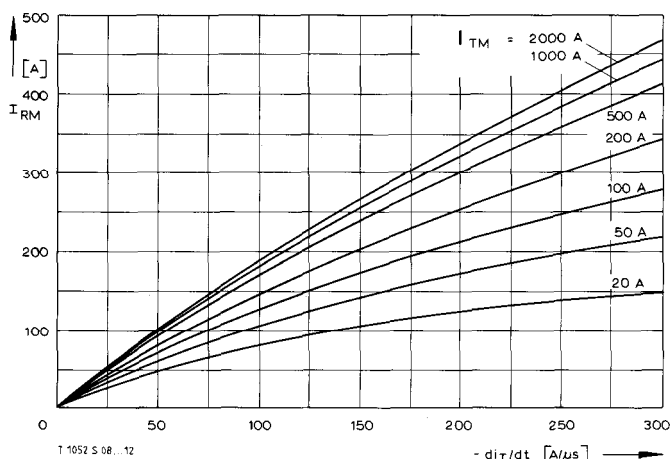


Bild/Fig. 15

(zu Bild/Fig. 13)  
Steuergenerator/pulse generator:  
 $I_G = 1,2 \text{ A}$ ,  $di_G/dt = 1,2 \text{ A}/\mu\text{s}$

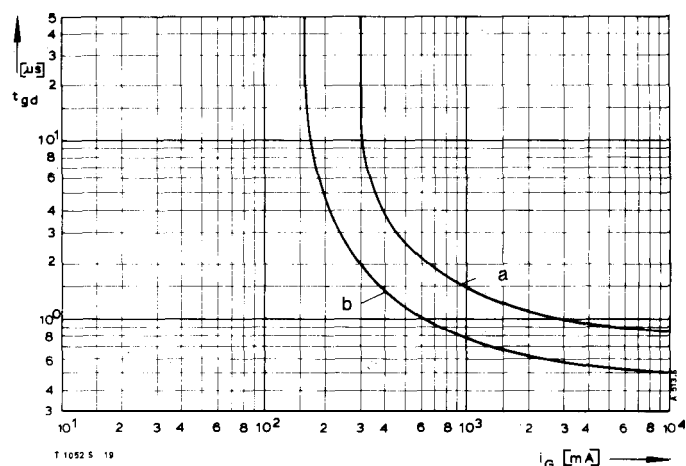
RC-Glied/RC-network:  
 $R [\Omega] \geq 0,02 V_{DM} [\text{V}]$   
 $C \leq 0,33 \mu\text{F}$





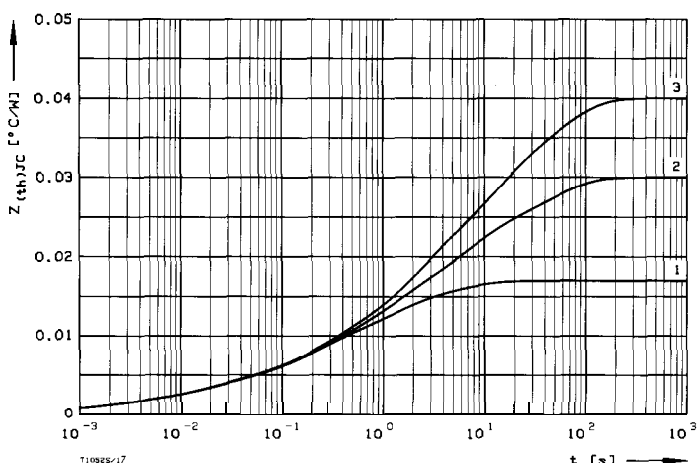
Bild/Fig. 16

Rückstromspitze  $I_{RM} = f(-di/dt)$ ,  $t_{vj} = t_{vj(max)}$ ,  $V_R = 0.5 V_{RRM}$ ,  $V_{RM} = 0.8 V_{RRM}$   
 Peak reverse recovery current  $I_{RM} = f(-di/dt)$ ,  $t_{vj} = t_{vj(max)}$ ,  $V_R = 0.5 V_{RRM}$ ,  $V_{RM} = 0.8 V_{RRM}$   
 Parameter: Durchlaßstrom/On-state current  $I_{TM}$



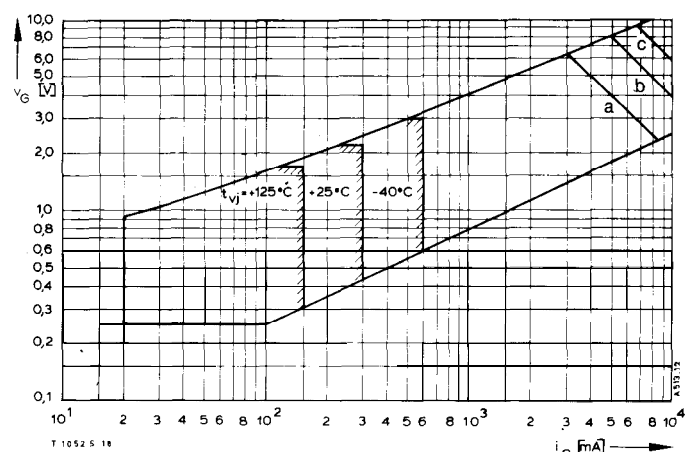
Bild/Fig. 18

Zündverzug/Gate controlled delay time  $t_{gd} = f(i_G)$ ,  $t_{vj} = 25^\circ C$ ,  $di_G/dt = i_G/1 \mu s$   
 a — Maximaler Verlauf/Limiting Characteristic  
 b — Typischer Verlauf/Typical Characteristic



Bild/Fig. 17

Transient innerer Wärmewiderstand  $Z_{thJC} = f(t)$ , DC  
 Transient thermal impedance  $Z_{thJC} = f(t)$ , DC  
 1 Beidseitige Kühlung/two-sided cooling  
 2 Anodenseitige Kühlung/anode side cooling  
 3 Kathodenseitige Kühlung/cathode side cooling



Bild/Fig. 19

Steuercharakteristik mit Zündbereichen/Gate Characteristic with triggering areas  
 $V_G = f(i_G)$ ,  $V_D = 12 V$

Parameter:	a	b	c
Steuerimpulsdauer/Trigger pulse duration $t_g$ [ms]	10	1	0,5
Höchstzulässige Spitzensteuerverlustleistung/ Max. rated peak state power dissipation $P_{RM}$ [W]	20	40	60

Analytische Elemente des transienten Wärmewiderstandes  $Z_{thJC}$  für DC  
 Analytical elements of transients thermal impedance  $Z_{thJC}$  for DC

Kühlung	Pos. n	1	2	3	4	5	6	7
beidseitig	$R_{thn} [\text{ }^\circ\text{C}/\text{W}]$	0,00114	0,00224	0,00487	0,00549	0,00326		
two-sided	$\tau_n [\text{s}]$	0,0014	0,015	0,17	1,05	5,1		
anodenseitig	$R_{thn} [\text{ }^\circ\text{C}/\text{W}]$	0,00106	0,00239	0,004	0,00625	0,0086	0,0077	
anode-sided	$\tau_n [\text{s}]$	0,0013	0,015	0,16	0,9	5,8	44	
kathodenseitig	$R_{thn} [\text{ }^\circ\text{C}/\text{W}]$	0,00106	0,00245	0,00499	0,0096	0,0107	0,0112	
cathode-sided	$\tau_n [\text{s}]$	0,0013	0,015	0,19	1,7	10,2	53,5	

Analytische Funktion/analytical function:

$$Z_{thJC} = \sum_{n=1}^{n_{max}} R_{thn} (1 - \exp(-t/\tau_n))$$